

УДК 520.253

**В. Л. Карбовський<sup>1</sup>, П. Ф. Лазоренко<sup>1</sup>, В. М. Андрук<sup>1</sup>,  
В. В. Клещонок<sup>2</sup>, М. О. Литвин<sup>1</sup>, К. О. Богатирьов<sup>1</sup>,  
О. В. Денисюк<sup>1</sup>**

<sup>1</sup>Головна астрономічна обсерваторія Національної академії наук України  
03680 Київ, вул. Академіка Зabolотного 27

<sup>2</sup>Астрономічна обсерваторія Київського національного університету ім. Тараса Шевченка  
04053 Київ, вул. Обсерваторна 3

## **Київський меридіанний аксіальний круг з новою ПЗЗ-камерою**

*Наведено характеристики нової ПЗЗ-камери, встановленої на Київському меридіанному аксіальному крузі (МАК). ПЗЗ-матриця e2v CCD47-10 камери «Apogee Alta U47» має формат 1024 × 1024 пкл з розміром пікселя 13 × 13 мкм. Спостереження проводяться в режимі синхронного накопичення сигналу з ефективним часом експозиції 77 с для екваторіальних зірок. Фотометрична система МАК відповідає стандартній V-смузі Джонсона, гранична зоряна величина V = 17<sup>m</sup>. За результатами тестових спостережень на МАК у 2009 р. отримано похибки положень та величин V відповідно 0.1 та 0.09<sup>m</sup> для зірок каталогу «Tycho-2». Проводяться спостереження зірок в екваторіальній області неба з метою визначення їхніх точних положень, власних рухів та блиску.*

*КИЕВСКИЙ МЕРИДИАННЫЙ АКСИАЛЬНЫЙ КРУГ С НОВОЙ ПЗС-КАМЕРОЙ, Карбовский В. Л., Лазоренко П. Ф., Андрук В. Н., Клещенок В. В., Литвин М. В., Богатырев К. В., Денисюк Е. В. — Приводятся характеристики новой ПЗЗ-камеры, установленной на Киевском меридианном аксиальном круге (МАК). ПЗЗ-матрица e2v CCD47-10 камеры «Apogee Alta U47» имеет формат 1024 × 1024 пкл с размером пикселя 13 × 13 мкм. Наблюдения ведутся в режиме синхронного накопления сигнала с эффективным временем экспозиции 77 с для экваториальных звезд. Фотометрическая система МАК отвечает стандартной V-полосе Джонсона, предельная звездная величина V = 17<sup>m</sup>. По результатам тестовых наблюдений на МАК в 2009 г. получены погрешности положений и величин V соответственно 0.1 и 0.09<sup>m</sup> для звезд каталога «Tycho-2». Ведутся наблюдения звезд в эква-*

© В. Л. КАРБОВСЬКИЙ, П. Ф. ЛАЗОРЕНКО, В. М. АНДРУК, В. В. КЛЕЩОНOK,  
М. О. ЛИТВИН, К. О. БОГАТИРЬОВ, О. В. ДЕНИСЮК, 2011

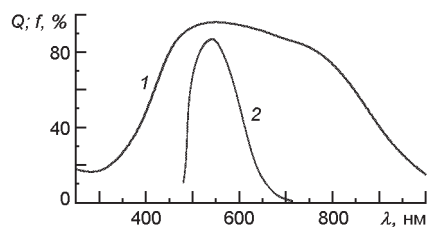
ториальної області неба с цією метою определення их точних положень, собственных движений и блеска.

*THE KYIV MERIDIAN AXIAL CIRCLE WITH A NEW CCD CAMERA, by Karbovsky V. L., Lazorenko P. F., Andruk V. M., Kleshchonok V. V., Lytvyn M. O., Bogatyrjov K. O., Denisjuk O. V. — We give characteristics of the new CCD camera «Apogee Alta U47» installed at the Kyiv meridian axial circle (MAC). The camera is based on the 1024 1024 ppx e2v CCD47-10 with a pixel size of 13 13 mkm. Observations are performed in scan-drift mode with an effective exposure time of 77 s for equatorial stars. The MAC photometric system is close to Johnson's V band and the MAC limiting magnitude V is 17. The test observations obtained in 2009 show that the precision of positions and of V magnitudes is about 0.1 and 0.09<sup>m</sup>, respectively, for reference stars of the «Tycho 2» catalogue. The telescope is used for observations of equatorial stars to determine their positions, proper motions and magnitudes.*

**Вступ.** У 2009 р. на Київському меридіанному аксіальному крузі (МАК) Головної астрономічної обсерваторії НАН України та Київського національного університету встановлено нову ПЗЗ-камеру «Apogee Alta U47» замість ПЗЗ-камери з матрицею ISD017AP [4], з якою велися спостереження на МАК з 2001 р. У новій камері використовується ПЗЗ-матриця e2v CCD47-10 формату 1024 1024 пкль, з розміром пікселя 13 13 мкм, темновим сигналом  $0.66 \text{ ел} \cdot \text{пкль}^{-1} \cdot \text{с}^{-1}$  та з шумом зчитування 10 ел. при  $T = 20^\circ\text{C}$ . У ПЗЗ-камері використано 16-роздрядний аналого-цифровий перетворювач (АЦП). У порівнянні з попередньою камерою з 12-роздрядним АЦП [4] це дозволяє реєструвати суттєво яскравіші зірки (переважно опорні зірки «Tycho2») без перевопнення АЦП за час проходження зображення зірки по всій довжині ПЗЗ-матриці. Таким чином, діапазон зоряних величин в екваторіальній зоні вдалося розширити з  $11.5 - 17^m$  до  $8.5 - 17^m$ . Спектральну характеристику чутливості  $Q(\lambda)$  ПЗЗ-матриці, надану виробником, приведено на рис. 1 (крива 1). Охолоджувач ПЗЗ-матриці забезпечує різницю температури «матриця — навколоишне середовище» до  $55^\circ\text{C}$ .

Зв'язок між ПЗЗ-камерою та персональним комп'ютером здійснюється по USB-порту, який забезпечує управління камерою під час спостережень та обмін цифровими даними між ними.

ПЗЗ-камера дозволяє проводити спостереження небесних об'єктів у двох режимах роботи. У першому, кадровому, режимі впродовж програмно встановленого часового інтервалу здійснюється накопичення сигналу одночасно у всіх елементах ПЗЗ-матриці з подальшим швидким зчитуванням інформації після закінчення експозиції. Діапазон можливих експозицій лежить у межах 20 мс — 183 хв. Кутовий розмір знімка — 19.3 19.3. У зв'язку



*Рис. 1. Спектральна характеристика абсолютної квантової ефективності ПЗЗ-матриці e2v CCD47-10 (крива 1) і коефіцієнт пропускання V-фільтра для МАК (крива 2)*

з відсутністю на МАК механізму відслідковування добового руху зображень зір цей режим може застосовуватися лише для спостереження малорухомих об'єктів (геостаціонарних супутників, об'єктів навколо полярної області та ін.) та для дослідження ПЗЗ-камери.

Для спостережень на телескопі МАК, як і на інших меридіанних кругах (CAMC, Bordough, FASTT [8, 9, 12—15]), використовується другий режим роботи ПЗЗ-камери — режим синхронного накопичення (scan-drift mode) [11]. В цьому режимі накопичення електричного сигналу від об'єкта відбувається одночасно з переносом зарядових пакетів синхронно добовому рухові зображень зірок. Швидкість переносу зарядових пакетів вибирається рівною швидкості руху оптичного зображення об'єкта по поверхні ПЗЗ-матриці. Кутовий розмір відсканованої області неба по схиленню визначається кутовим розміром проекції матриці у даному напрямі і становить 19.3°, а по прямому сходженню розмір скана обмежений лише тривалістю спостереження, і може досягати кількох десятків градусів. Для цього режиму спостережень властиве додаткове розмиття зображень зірок [7], що становить близько 4° по прямому сходженню та 1° по схиленню.

На МАК реалізовано лише односмугову фотометричну *V*-систему [4]. Фільтр *V* складається із скла ЖС-17 та СЗС-21 товщиною 2.5 і 2.3 мм відповідно. Спектральна характеристика фільтра (виміряна на спектрофотометрі) з врахуванням чутливості матриці близька до характеристики смуги *V* системи Джонсона (рис. 1, крива 2). Зображення зірок у смузі *V* мають симетричну форму і апроксимуються гауссовим еліптичним розподілом з параметром  $\sigma = 1.3$  пкл, що відповідає  $f_{1/2} = 4.7$  пкл, або 5.3°. Нижче приведено основні характеристики київського меридіанного аксіального круга з новою камерою:

Вхідний отвір	18 см
Фокусна відстань	2.368 м
Фотометрична смуга	<i>V</i>
Масштаб	1.132 /пкл
Діапазон зоряніх величин	8.5—17°

*Кадровий режим роботи ПЗЗ-камери*

Розмір кадра	19.3° × 19.3°
Експозиція	20 мс — 183 хв

*Режим синхронного накопичення*

Розмір скана по схиленню	19.3°
Тривалість експозиції зірок	(77 с)·sec

## ДОСЛІДЖЕННЯ ХАРАКТЕРИСТИК ПЗЗ-КАМЕРИ «Apogee Alta U47»

В режимі синхронного накопичення сигналу проведено дослідження шумів ПЗЗ-камери та їхнього розподілу по полю матриці. Для цього отримувались серії сканів при закритому вікні ПЗЗ-камери з експозиціями 20 мс і 77 с. При експозиції 20 мс основною шумовою складовою є шум зчитування з деяким додатковим постійним зміщенням. Вклад інших шумів незначний. Ця шумова складова сигналу виключалась із сканів, отриманих при екс-

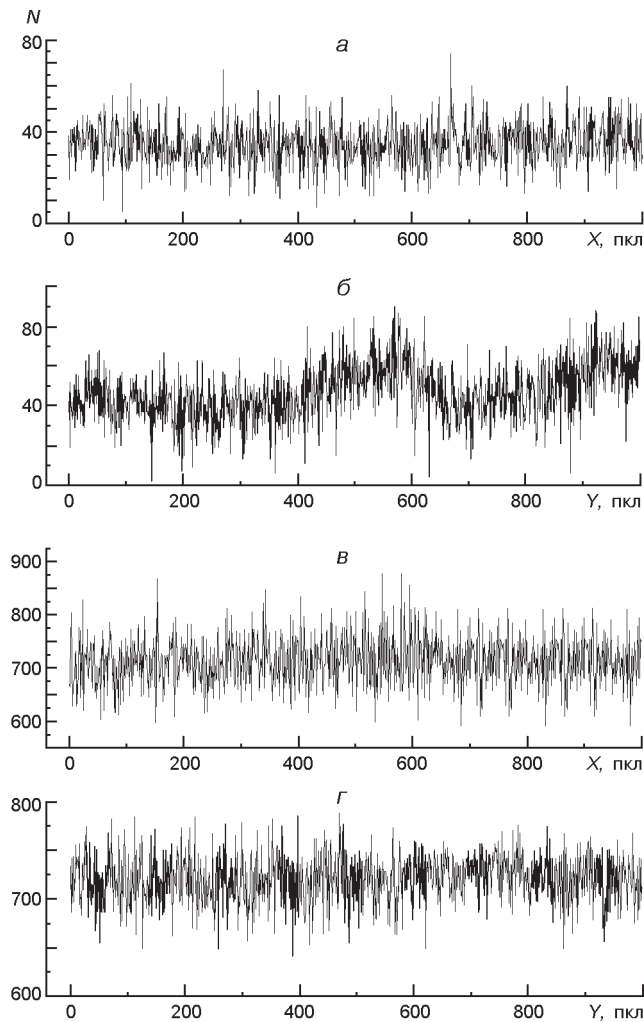


Рис. 2. Розподіл шумової складової (а, б) та неоднорідності чутливості (в, г) по полю ПЗЗ-матриці

позиції 77 с. Таким чином було отримано шумову складову поля ПЗЗ-матриці без шуму зчитування. Усереднений розподіл шумової складової по координатах  $X$ ,  $Y$  показано на рис. 2, а, б ( $N$  — значення вихідного сигналу в одиницях 16-розрядного АЦП ПЗЗ-камери).

Також досліджено розподіл неоднорідності чутливості по полю ПЗЗ-матриці. Для цього отримувались серії сканів нічного неба при фазі Місяця 1/5. Із отриманих сканів виключалась складова темнового шуму та шум зчитування з додатковим постійним зміщенням. Отримана таким чином неоднорідність чутливості по полю ПЗЗ-матриці має двовимірну структуру. Її розподіл по координатах  $X$ ,  $Y$  (та на небі відповідно) показано на рис. 2, в, г.

Характерні профілі зображень зірок, їхні розміри і форма приведено на рис. 3.

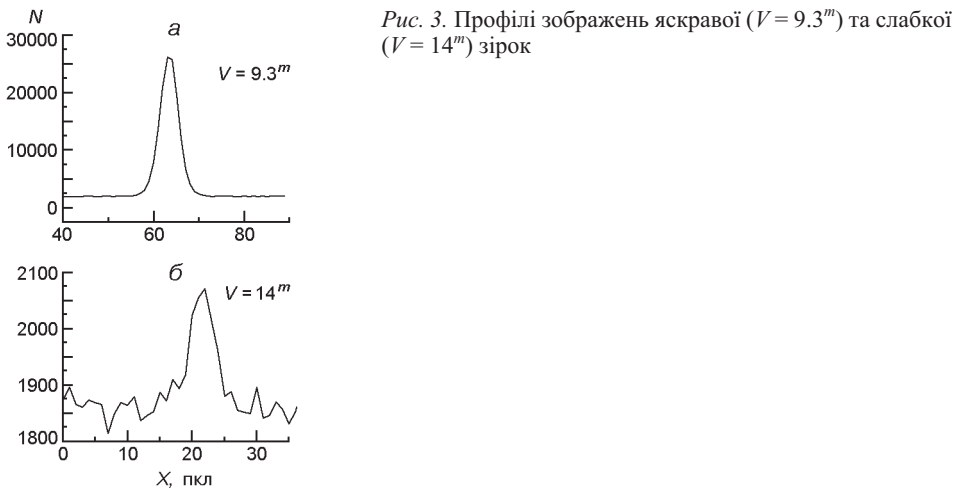


Рис. 3. Профілі зображень яскравої ( $V = 9.3^m$ ) та слабкої ( $V = 14^m$ ) зірок

## ТЕСТОВІ СПОСТЕРЕЖЕННЯ ТА ЇХНЯ ОБРОБКА

Тестові спостереження з новою ПЗЗ-камерою були проведені у квітні 2009 р. в екваторіальній зоні ( $\alpha = 13^h$ ,  $\delta = 10^\circ$ ). Обробку ПЗЗ-сканів розміром 1024 × 10000 пкп для визначення екваторіальних координат  $\alpha$  і  $\delta$  і коефіцієнтів редукції інструментальної системи у систему  $V$  «Tycho-2» виконано у програмному середовищі MIDAS/ROMAFOT, яке дозволяє отримувати прямокутні координати  $X$  і  $Y$  у системі координат матриці та фотометричні величини в інструментальній системі [10]. В даній роботі для фотометричної процедури корекції за плоске поле ми скористалися способом знаходження індивідуального плоского поля для кожного скану без використання калібровочних знімків з темновим сигналом та плоским полем.

Крім того, попередні дослідження показали, що шуми від фону неба для Києва в декілька разів перевищують шумову складову ПЗЗ-камери. При виконанні обробки тестових спостережень шумова складова як адитивна добавка не враховувався.

Програмно реалізовано ітераційний метод видалення об'єктів (зорок, слідів гарячих пікселів і космічних частинок, галактик тощо) та побудова і виділення просторової обвідної власного плоского поля із необробленого скану. Обґрунтованість такого підходу до обробки зображень, порівняння з традиційним способом обробки а також отримані результати викладено в роботах [1—3, 5, 6].

## ТОЧНІСТЬ ВИЗНАЧЕННЯ КООРДИНАТ

Метою тестових спостережень є визначення точності вимірювання екваторіальних координат і зоряних величин зареєстрованих об'єктів. Для визначення тангенціальних координат опорних зірок за опорний каталог використано каталог «Tycho-2». Сталі редукції вимірюваних координат до тангенціальних координат визначалися з розв'язку методом найменших квадратів систем рівнянь

$$\begin{aligned}
 & i \quad a_1 X_i \quad b_1 Y_i \quad c_1 \quad d_1 X_i^2 \quad e_1 X_i Y_i \quad f_1 Y_i^2 \\
 & g_1 X^3 \quad g_2 X^4 \quad g_3 X^5 \quad g_4 X^6, \\
 & i \quad a_2 X_i \quad b_2 Y_i \quad c_2 \quad d_2 X_i^2 e_2 X_i Y_i \quad f_2 Y_i^2 \\
 & h_1 X^3 \quad h_2 X^4 \quad h_3 X^5 \quad h_4 X^6,
 \end{aligned} \tag{1}$$

де  $i$  — номери опорних зірок ( $i = 1, 2, \dots, n$ ).

Формули редукції виду (1) були підібрані емпірично для найкращого узгодження обчислених екваторіальних координат з їхніми каталожними значеннями. Якщо обмежитись сталими редукції у вигляді повних поліномів другого чи третього степенів, то значення середніх квадратичних похибок одного вимірювання для залишкових різниць ( $O - C$ ) складають:  $= 0.25$ ,  $0.14$  для прямих сходжень та  $= 0.29$ ,  $0.16$  для схилень. Результати покращуються, якщо редукцію здійснювати з використанням повних поліномів другого степеня з додаванням коефіцієнтів 4-го, 5-го і 6-го порядку по  $X$  (7-ий порядок дає погрішення):  $= 0.16$ ,  $0.14$ ,  $0.10$  для прямих сходжень та  $= 0.13$ ,  $0.13$ ,  $0.12$  для схилень відповідно.

На рис. 4 приведено результати обробки типового скану ( $N = 21$ ), с. к. п. для залишкових різниць  $O - C$  близькі до 0.1. Показано хід різниць  $\Delta\alpha$ ,  $\Delta\delta$ , між виміряними та каталожними координатами для прямих сходжень і схилень зірок каталогу «Tycho-2». Вказані різниці подано (зверху вниз)

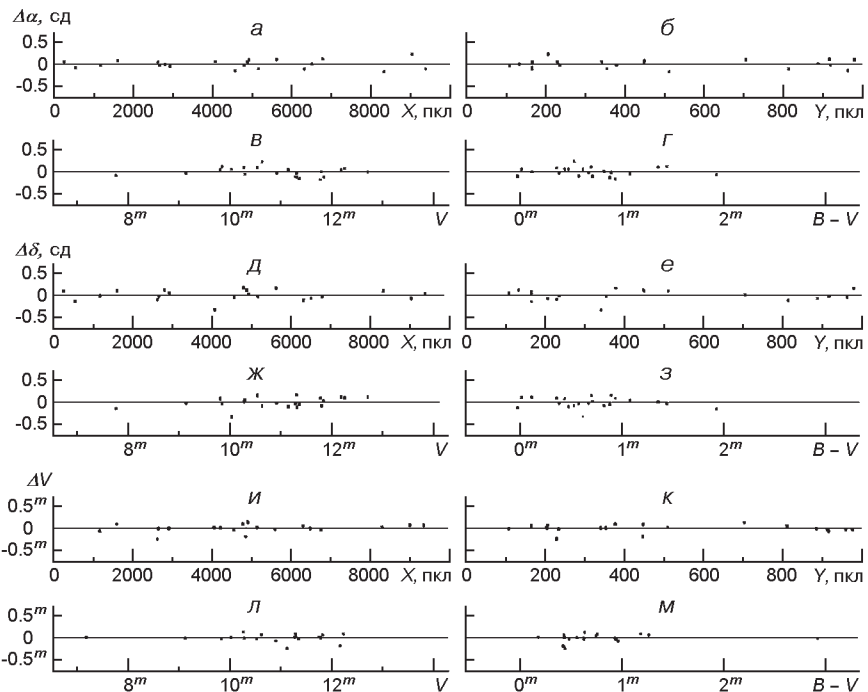


Рис. 4. Різниці  $\Delta\alpha$ ,  $\Delta\delta$ ,  $\DeltaV$  між вимірюними та каталожними значеннями для прямих сходжень і схилень зірок каталогу «Tycho-2». Різниці подано відносно прямокутних координат  $X(\alpha, \delta, u)$ ,  $Y(\delta, e, k)$ , зоряних величин  $V(v, \text{ж}, l)$  і кольорів зірок  $B - V(z, z, m)$  каталогу «Tycho-2»

відносно прямокутних координат  $X(a, \delta)$  та  $Y(\beta, e)$ , зоряних величин  $V(b, \varphi)$  і показників кольору  $B - V(z, z)$  каталогу «Tycho-2». Видно, що залишкові різниці  $\nu$ , відносно прямокутних координат  $X$  та  $Y$ , величин  $V$  зір та їхніх кольорів  $B - V$  мають випадковий характер. За результатами обробки трьох сканів визначено масштаб, який для координат  $Y$  складає 1.132 /пкл.

## ФОТОМЕТРІЯ

Для фотометричної обробки за опорний каталог було використано каталог «Tycho-2». Після корекції за екстинкцію зв'язок фотометричної системи реєструвальної апаратури МАК з  $V$ -системою каталогу «Tycho-2» визнався із рішення методом найменших квадратів систем рівнянь

$$V_i = A(B - V)_i + D + Cv_i, \quad (2)$$

де  $i = 1, 2, \dots, 19$  (кількість визначень стандартів). Похибки розв'язків систем рівнянь виду (2) склали  $\nu = 0.089^m$ . Знайдено значення коефіцієнтів переходу від інструментальних фотометричних величин до величин в системі каталогу «Tycho-2»:  $A = -0.097$ ,  $D = 23.420$ ,  $C = 0.952$ . Зв'язок фотометричних систем, отриманий із рівнянь (2), показано на рис. 5, а.

На практиці звичайно використовуються рівняння без врахування кольорів зірок для визначення нуль-пунктів інструментальної системи:

$$V_i = cv_i + d, \quad (3)$$

За нашими дослідженнями  $c = 0.966$ ,  $d = 23.168$ ,  $\nu = \pm 0.093^m$ . Результати, представлені на рис. 4,  $u-m$ , отримано на основі рівнянь (3). Видно відсутність залежності фотометричних різниць  $V$  між визначеними (без корекції за колір зірок) та каталожними зоряними величинами від прямокутних координат  $X$ ,  $Y(u, \kappa)$ , зоряної величини  $V$  та показника кольору  $B - V(l, m)$ . На рис. 5, б подано гістограму розподілу кількості об'єктів (зірок) за значеннями зоряних величин  $V$  (неперервна лінія) і зірок каталогу «Tycho-2» (точки). На рис. 5, в показано зв'язок зоряних величин  $V$  з шириною зображень зареєстрованих об'єктів на половині максимальної інтенсивності  $f_{1/2}$ .

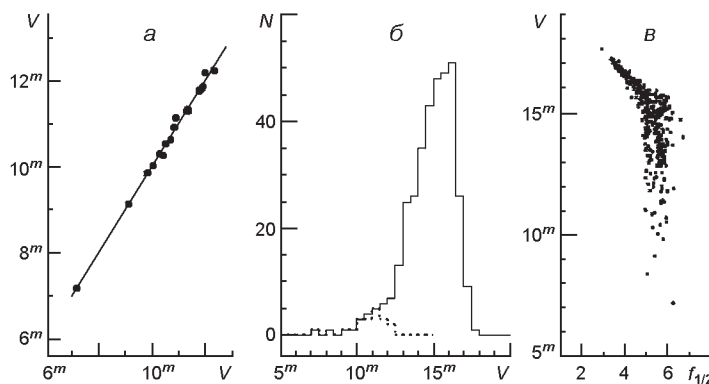


Рис. 5: а — зв'язок фотометричних систем ( $V = 0.95\nu - 0.1(B - V) + 23.4$ ,  $\nu = 0.089^m$ ); б — розподіл кількості  $N$  зірок по значеннях зоряних величин  $V$  (неперервна лінія) і зірок каталогу «Tycho-2» (точки); в — залежність зоряних величин  $V$  від півширини  $f_{1/2}$  профілів зображень

Як висновок відзначимо відсутність фотометричної похибки поля. Це, ймовірно, зумовлено використанням в даній роботі процедури корекції за індивідуальне плоске поле для окремо взятого скану.

## ВИСНОВКИ

Результати обробки тестових спостережень показують, що спостереження з новою ПЗЗ-камерою щонайменше не поступаються досягнутому з попередньою камерою [4] рівня точності [9]. У той же час камера «Apogee Alta U47» має вищу якість, менший рівень шумів та дозволяє спостерігати приблизно вдвічі більшу кількість яскравих опорних зірок каталогу «Tycho-2». З новою камерою продовжиться спостереження по довготерміновій програмі [4], яка має на меті створення астрометричного огляду неба в екваторіальній зоні при чотирикратному перекритті сканів для поширення опорної системи HIPPARCOS — «Tycho» на слабкі зорі та для отримання їхніх фотометричних характеристик.

Автори вдячні Л. К. Пакуляк за змістовні поради під час підготовки програм керування ПЗЗ-камерою.

1. *Андрук В., Барташюте С., Бутенко Г. та ін.* ПЗЗ-фотометрія у Вільнюській системі в області скупчення IC4665 в Андрушівській АО // Изучение объектов околоземного пространства и малых тел Солнечной системы: Междунар. науч. конф. — Николаев: Атолл, 2007.—С. 252—264.
2. *Андрук В. Н., Бутенко Г. З.* Исследование фотометрической системы 2-м телескопа на пике Терскол // Кинематика и физика небес. тел.—2006.—**22**, № 3.—С. 231—240.
3. *Андрук В., Бутенко Г., Свачій Л.* ПЗЗ-фотометрія в UBVR-системі в ділянці скупчення NGC 6913 // Журн. фіз. досліджень.—2008.—**12**, № 1.— С. 1903-1—1903-4.
4. *Лазоренко П., Карбовський В., Денисюк О. та ін.* Київський меридіанний аксіальний круг з ПЗЗ-камерою // Кинематика и физика небес. тел.—2007.—**23**, № 5.—С. 304—311.
5. *Харін А. С., Андрук В. Н., Барташюте С. и др.* UVR ПЗС-фотометрія звезд для пяти областей неба с инфракрасными двойниками радиоисточников // Кинематика и физика небес. тел.—2007.—**23**, № 4.—С. 207—221.
6. *Andruk V. M., Vid'machenko A. P., Ivashchenko Yu. M.* Processing of CCD frames of images of star fields without the frame of a flat field using new software in program shell of MIDAS/ROMAFOT // Kinematics and physics of celestial bodies. Suppl.—2005.—N 5.—P. 544—550.
7. *Gibson B. K., Hickson P.* Time-delay integration CCD read-out technique: image deformation // Mon. Notic. Roy. Astron. Soc.—1992.—**258**.—P. 543—551.
8. *Carlsberg Meridian Catalogue N 9.* Observation of position of stars and planets: May 1984 to March 1995. — La Palma, 1997.—CD-ROM version.
9. *Lazorenko P., Babenko Yu., Karbovsky V., et al.* The Kyiv meridian axial circle catalogue of stars in fields with extragalactic radio sources // Astron. and Astrophys.—2005.—**438**.—P. 377—389.
10. *MIDAS users guide.* — Garching: European Southern Observatory, 1994.—Vol. A, B and C.
11. *Stone R., Monet D., Monet A., et al.* The Flagstaff astrometric scanning transit telescope (FASTT) and star positions determined in the extragalactic reference frame // Astron. J.—1996.—**111**, N 4.—P. 1721—1741.

12. *Stone R., Monet D., Monet A., et al.* Upgrades to the Flagstaff astrometric scanning transit telescope: a fully automated telescope for astrometry // *Astron. J.*—2003.—**126**.—P. 2060—2080.
13. *Telnyuk-Adamchuk V., Babenko Yu., Lazorenko P., et al.* Observing Programs of the Kyiv meridian axial circle equipped with a CCD micrometer // *Astron. and Astrophys.*—2002.—**386**.—P.1153—1156.
14. *Viateau B., Requieme Y., Le Campion J., et al.* The Bordeaux and Valinhos CCD meridian circles // *Astron. and Astrophys. Suppl. Ser.*—1999.—**134**.—P. 173—186.
15. *Yoshizawa W., Suzuki S., Kuwabara T., Ishizaki H.* Observation of faint stars deep to 16th magnitude with CCD meridian circle // IAU Symp. N 156: Developments in Astrometry and Their Impact on Astrophysics and Geodynamics. — Shanghai (China), 1993.— P. 71—74.

Надійшла до редакції 15.03.10